

# زمین لرزه ۵ بیستم سپتامبر ۱۹۹۹ تایوان

علی اکبر اسلامی، عضو هیأت علمی و مشاور رئیس پژوهشگاه

محمد رضا عباسی، استادیار و عضو هیأت علمی گروه لرزه زمین ساخت پژوهشکده زلزله شناسی پژوهشگاه

امیر منصور فرهبد، مربی پژوهشی و عضو هیأت علمی پژوهشکده زلزله شناسی پژوهشگاه

## ۱- چکیده

طبیعی، هوالین.

### ۲- معرفی رویداد

روز سه شنبه ۲۱ سپتامبر ۱۹۹۹ ساعت یک و ۴۷ دقیقه و ۱۹ ثانیه بامداد به وقت محلی تایپه زمین لرزه ای راندگی با بزرگای ۷/۶ در مقیاس جهانی (*CMT*) در مرکز جزیره تایوان واقع شد. زمان وقوع این رویداد به وقت کرینویچ ساعت ۱۷ و ۴۷ دقیقه و ۱۹ ثانیه و به وقت تابستانی تهران ساعت ۲۲ و ۱۷ دقیقه و ۱۹ ثانیه بعداز ظهر روز دوشنبه ۲۰ سپتامبر ۱۹۹۹ و ۲۹ شهریور ۱۳۷۸ تعیین گردید. رومرکز زمین لرزه در فاصله ۱۵۰ کیلومتری جنوب باختری شهر تایپه پایتخت تایوان که در شمال جزیره قرار دارد، توسط ممیزی لرزه ای زمین ساختی ایالات متحده (*USGS*) در موقعیت ۲۳/۷۸ درجه عرض شمالی و ۱۲۱/۰ درجه طول خاوری تعیین محل شده است (شکل ۱ و جدول ۱). این مرکز ژرفای آن را پنج کیلومتر برآورد نموده است؛ در حالی که، حل تانسوری آن را ۲۰/۷ کیلومتر تخمین می نماید که با توجه به ژرفای پس لرزه های بزرگ تخمین دوم قابل پذیرش تر است؛ اما، گروه ژاپنی به سپرستی پروفوسور لی رومرکز را تزدیک شهرک بیلاقی و کوچک چی چی در موقعیت ۲۳/۸۷ درجه عرض شمالی و ۱۲۰/۷۵ درجه طول خاوری تعیین محل نموده اند، که با رویکرد به نقشه گسلش سطحی دارای عدم یقین کمتری است (شکل ۲). وارسی ما نیز با قرائت فازهای ثبت شده در ایستگاه کاوش تهران کم ژرفای بودن این رویداد را تأیید می نماید (شکل ۳). مسبب اصلی این زمین لرزه راندگی از دیدگاه زمین ساختی دریای فیلیپین و اوراسیا دانسته می شود (شکل ۴ و ۵).

این رویداد در شهرهای مرکزی جزیره پیرامون رومرکز مانند شهر پولی و تای چونگ، سدهای ووش و واتتا در شمال خاوری دریاچه سان مون

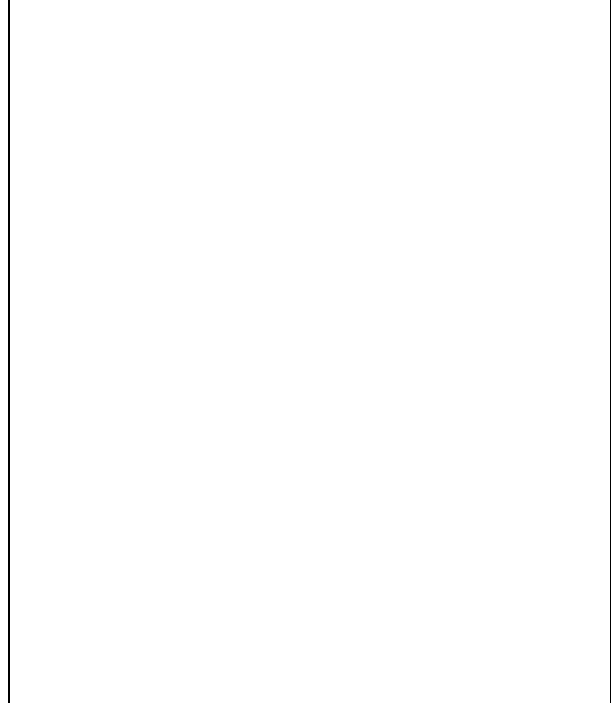
تیجۀ تفسیر نگاشت دور لرزه ای زمین لرزه تایوان در تهران، همخوانی آن با پردازش‌های فرستاده شده در شبکه اینترنت، وارسی یادداشت‌های بازدید از منطقه تایوان قبل از این رویداد و مطالعه لرزه خیزی و لرزه زمین ساخت حاکم بر خاستگاه این زمین لرزه، دریافت‌های زیر را مسکن ساخته است.

انرژی حاصل از تکان این رویداد مرز صفحه ای نه تنها توسط موجه‌ای بالا فرکانس در حوزه تزدیک تخلیه شده است، بلکه به گونه صفحه لرزه همراه موجه‌ای پایین فرکانس نیز تا دور دست راند شده است. البته این جزء صفت زمین لرزه های مرز صفحه ای است که انرژی بیشتری را به دور دست بفرستند [۱]؛ چنانکه هم شهر پولی در حوزه تزدیک در مرکز جزیره بکلی تخرب شده و هم سازه های مهندسی ساز بلند مانند هتل در تایپه به فاصله ۱۵ کیلومتری شمال خاوری مرکز زمین لرزه در دور دست فراواتاده اند. البته پدیده روانگرایی خاک و تشدید هم به واسطه ساحلی بودن منطقه و همنوایی فرکانس خودی (*Itself-Frequency*) سازه های بلند با فرکانس طبیعی موجه‌ای تکفام (*Monocromatic*) می تواند به ترتیب در کج شدن و ریزش مؤثر بوده باشد. مسبب زمین ساختی این رویداد، تداوم برخورد (*Collision*) دو صفحه دریای فیلیپین و اوراسیا دانسته می شود. پیشگام صفحه برخوردی دریای فیلیپین در سیمای زمین ساخت عمومی منطقه به صورت فراز پلی دیده می شود که از ترکیب بندي بخش شمال و خاور فرورانش صفحه دریای فیلیپین شکل می گیرد. گذار شمالی این صفحه به سوی فرورانش (*Subduction*) از بندر هوالین (*Hualien*) بر جزیره تایوان وارد می شود. راندگی (*Thrust*) بیستم سپتامبر ۱۹۹۹ بازتاب صفحه برخورد این گذار در مرکز جزیره تایوان و یا از دیدگاه سنو و همکاران [۲] یک زمین لرزه منطقه فرورانشی است.

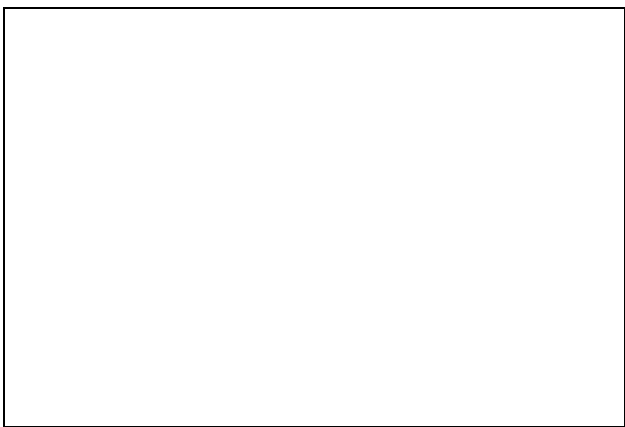
کلیدوازه ها: دور لرزه، بالا فرکانس، پایین فرکانس، صفحه لرزه، حوزه تزدیک، حوزه دور، روانگرایی خاک، فرکانس خودی، فرکانس

جدول (۱): زمین لرزه اصلی تایوان و فهرستی از پس لرزه های آن

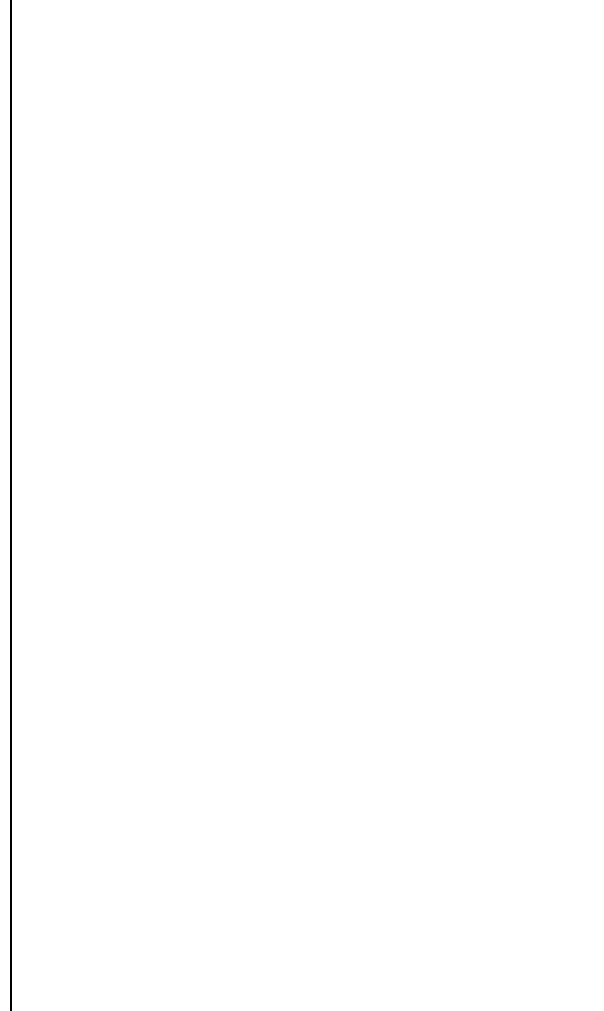
Q	بزرگا	ژرفای (کیلومتر)	طول جغرافیایی (درجه)	عرض جغرافیایی (درجه)	زمان	تاریخ
A	۷/۷ Ms	۳۲°	۱۲۰/۹۹	۲۳/۸°	۱۷:۴۷:۱۸	۱۹۹۹/۰۹/۲۰
B	۷/۰ Mb	۳۲°	۱۲۱/۳۱	۲۳/۷۶	۱۷:۵۷:۱۶	۱۹۹۹/۰۹/۲۰
B	۵/۹ Mb	۳۲°	۱۲۱/۲۶	۲۳/۶۴	۱۸:۰۳:۴۴	۱۹۹۹/۰۹/۲۰
A	۶/۱ Mb	۳۲°	۱۲۱/۱۸	۲۳/۶۸	۱۸:۱۱:۵۳	۱۹۹۹/۰۹/۲۰
B	۶/۱ Mb	۳۲°	۱۲۱/۲۸	۲۳/۶۹	۱۸:۱۶:۱۸	۱۹۹۹/۰۹/۲۰
C	۴/۹ Mb	۳۲°	۱۲۰/۸۱	۲۳/۶۷	۱۹:۴۰:۳۶	۱۹۹۹/۰۹/۲۰
C	۵/۱ Mb	۳۲°	۱۲۱/۶۹	۲۳/۸۸	۲۰:۴۰:۰۶	۱۹۹۹/۰۹/۲۰
C	۵/۱ Mb	۳۲°	۱۲۱/۶۷	۲۳/۰۱	۲۰:۴۳:۵۴	۱۹۹۹/۰۹/۲۰
B	۶/۵ Ms	۳۲°	۱۲۰/۹۳	۲۳/۴۹	۲۱:۴۶:۴۳	۱۹۹۹/۰۹/۲۰
C	۵/۴ Mb	۳۲°	۱۲۰/۹۴	۲۳/۶۴	۲۱:۵۴:۴۹	۱۹۹۹/۰۹/۲۰
C	۴/۸ Mb	۳۲°	۱۲۱/۶۳	۲۳/۸۵	۰۷:۰۶:۰۶	۱۹۹۹/۰۹/۲۱
A	۵/۱ Mb	۳۲°	۱۲۱/۲۹	۲۳/۹°	۱۷:۳۸:۳۹	۱۹۹۹/۰۹/۲۱
B	۵/۳ Mb	۳۲°	۱۲۱/۰۵	۲۴/۱۸	۲۲:۱۷:۰۵	۱۹۹۹/۰۹/۲۱
A	۶/۳ Ms	۳۲°	۱۲۱/۱۱	۲۳/۷۱	۰۰:۱۴:۳۹	۱۹۹۹/۰۹/۲۱
B	۶/۰ Mb	۳۲°	۱۲۱/۱۸	۲۳/۵۶	۰۰:۴۹:۴۲	۱۹۹۹/۰۹/۲۲
B	۴/۷ Mb	۳۲°	۱۲۱/۴۶	۲۳/۵۸	۰۲:۱۹:۳۳	۱۹۹۹/۰۹/۲۲
B	۴/۹ Mb	۳۲°	۱۲۱/۲۴	۲۳/۶۰	۱۲:۱۷:۱۹	۱۹۹۹/۰۹/۲۲
B	۶/۵ Mb	۳۲°	۱۲۱/۱۲	۲۳/۷۸	۲۳:۵۲:۵۱	۱۹۹۹/۰۹/۲۵
B	۴/۹ Mb	۳۲°	۱۲۱/۲۵	۲۴/۲۰	۰۷:۲۸:۲۴	۱۹۹۹/۰۹/۲۷
B	۵/۲ Mb	۳۲°	۱۲۱/۰۵	۲۳/۶۸	۱۱:۰۰:۱۰	۱۹۹۹/۰۹/۲۷
B	۵/۰ Mb	۷۵/۲	۱۲۲/۰۹	۲۴/۶۲	۰۹:۴۹:۴۶	۱۹۹۹/۰۹/۳۰
B	۵/۰ Mb	۳۲°	۱۲۱/۱۱	۲۳/۰۹	۱۲:۰۴:۱۲	۱۹۹۹/۱۰/۰۱
B	۴/۵ Mb	۳۲ N	۱۲۰/۸۹	۲۳/۶۱	۱۷:۰۳:۳۴/۳۷	۱۹۹۹/۱۰/۰۱
C	۴/۴ Mb	۳۲ N	۱۲۱/۶۰	۲۳/۹۱۷	۰۴:۵۴:۳۸/۰	۱۹۹۹/۱۰/۰۲
B	۴/۸ Mb	۳۲ N	۱۲۲/۴۰۹	۲۴/-۱۱	۱۷:۱۴:۱۶/۰	۱۹۹۹/۱۰/۰۲
C	۴/۷ Mb	۳۲ N	۱۲۱/۰۳	۲۲/۲۱۳	۲۲:۱۷:۰۳/۰	۱۹۹۹/۱۰/۰۲
C	۴/۷ Mb	۳۲ N	۱۲۱/۴۸۹	۲۱/۹۷۹	۰۵:۲۳:۴۰/۶	۱۹۹۹/۱۰/۰۳
B	۴/۷ Mb	۳۲ N	۱۲۱/۰۱۳	۲۳/۰۸	۱۲:۲۶:۱۵/۸	۱۹۹۹/۱۰/۰۴
C	۳/۹ Mb	۳۲ N	۱۲۱/۴۰۰	۲۳/۹۲۹	۲۰:۲۵:۰۸/۰	۱۹۹۹/۱۰/۰۴
-	-	۳۲ N	۱۲۲/۲۴۹	۲۳/۹۷۲	۰۰:۰۰:۰۶/۸	۱۹۹۹/۱۰/۰۵
B	۴/۸ Mb	۳۲ N	۱۲۱/۱۰۲	۲۳/۶۸۹	۱۲:۱۸:۱۷/۳	۱۹۹۹/۱۰/۰۵
-	-	۳۲ N	۱۲۱/۱۳۴	۲۲/۸۷	۱۸:۴۱:۴۱/۰	۱۹۹۹/۱۰/۰۵
B	۵/۱ Mb	۳۲ N	۱۲۱/۶۰۴	۲۴/-۰۵	۰۴:۰۹:۰۱/۷	۱۹۹۹/۱۰/۰۶
C	۳/۵ Mb	۳۲ N	۱۲۱/۴۹۵	۲۴/۵۴۵	۱۷:۳۴:۲۷/۲	۱۹۹۹/۱۰/۰۶
C	۴/۶ Mb	۳۲ N	۱۲۱/۲۵	۲۳/۰۲۴	۰۳:۵۸:۱۱/۲	۱۹۹۹/۱۰/۰۶
B	۵/۰ Mb	۳۲ N	۱۲۲/۰۷	۲۴/۷۲۹	۰۱:۳۹:۰۶/۴	۱۹۹۹/۱۰/۱۳



شکل (۲): گسلش روراندگی کشیده شده از گسل چه لانگ پس، به طول ۶۰ کیلومتر با روند شمالی- جنوبی



شکل (۳): فازهای رسیده به ایستگاه کاوش از بالا به پایین مولفه قائم، شمال-جنوب و خاور و باخترا و ۱۲۰ تا ۱۲۲ درجه طول خاوری در دریای خاوری چین قرار گرفته است. جزیره‌های پیرامونی وابسته به کشور نیز تا پهنه‌ای دو درجه اطراف جزیره اصلی پراکنده هستند. نظر به حضور ساختارهای ژئوتکتونیکی گوناگون، گونه‌های مختلف زمین لرزه نوع اقیانوسی، مانند مهشیاری، منطقه بنیوفی زیرتراستی و نوع قاره‌ای مانند تصادمی (*Collision Type*) و جزیره قوسی (*Island Arc Type*) و غیره با ژرفای اندازه‌های متفاوت و با چگالی بالای وفور در منطقه واقع می‌شود [۳] و [۴]. از آنجا که بیشترین لرزه خیزی تایوان در خاور جزیره و

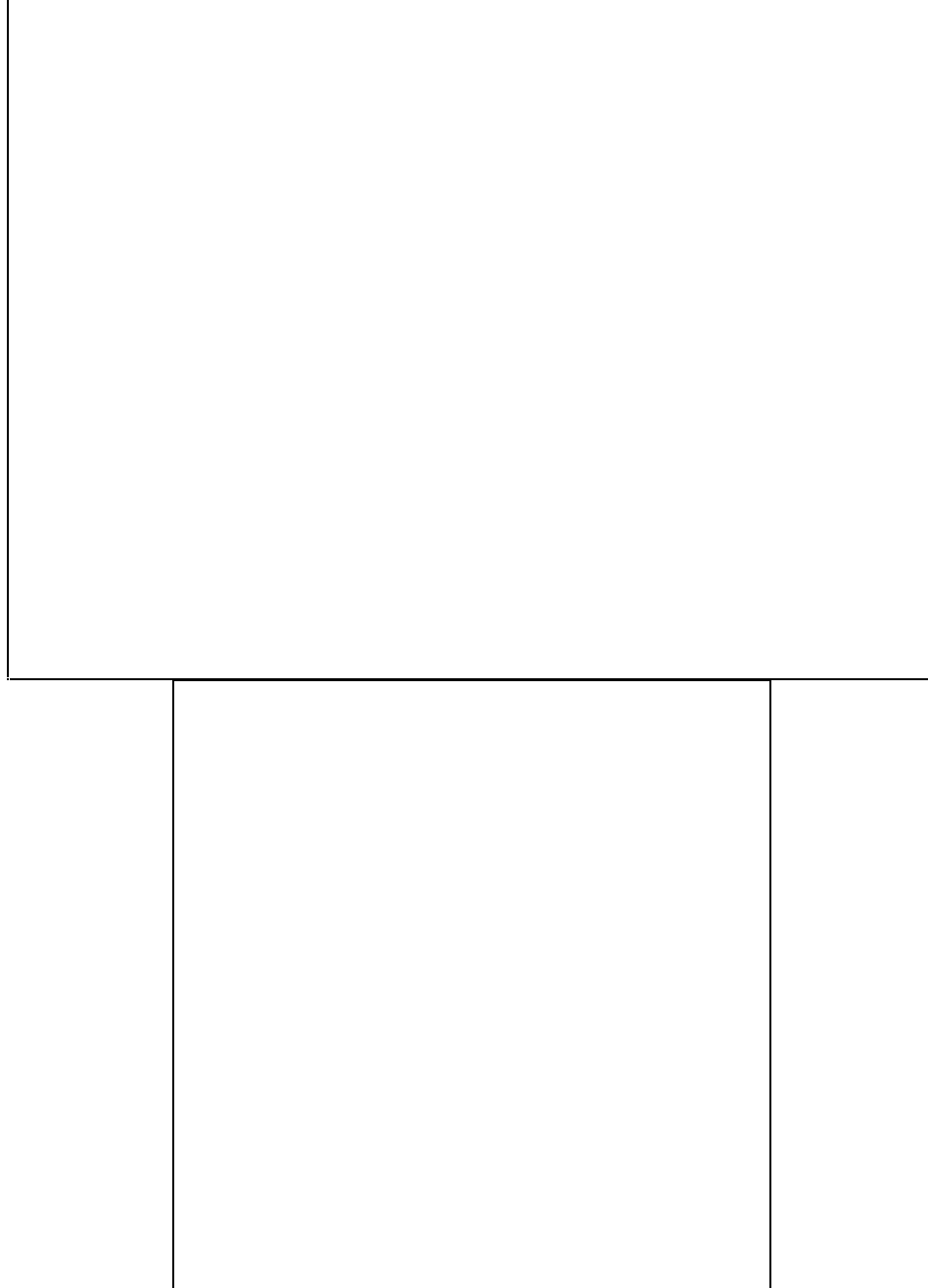


شکل (۱): موقعیت جغرافیایی جزیره تایوان (فرمز) پستی بلندیها و رومادر زمین لرزه بیستم سپتامبر ۱۹۹۹ و پس لرزه‌های بزرگ آن و دوردست تا تایپه پایتخت تایوان تخریب‌های سازه‌ای ایجاد نموده است (شکل ۱).

برخی از شهرکهای با خسارت قابل توجه از نظر تلفات و زخمیها برحسب گزارش گروه ریاضی از محل عبارتند از: چونگ لیائو، می‌شان، تای چونگ، فون کاین و دونگ سو، در حالی که از تایپه پایتخت پرجمعیت تایوان گزارش‌هایی از ریزش ساختمانها و تلفات و زخمی نیز داده شده بود. تلویزیون تایپه تلفات را ۲۱۰۰ نفر و زخمیها را ۸۰۰۰ نفر اعلام کرده بود. این زمین لرزه بسیار پرقدرت تر زمین لرزه ۱۷ اوت ۱۹۹۹ ترکیه می‌باشد، اما تلفات آن در مقایسه با بیش از ۱۴۰۰۰ نفر تلفات در ترکیه کمتر است.

### ۳- لرزه خیزی تایوان

جزیره اصلی کشور تایوان بین ۲۱/۹ تا ۲۵/۳ درجه عرض شمالی



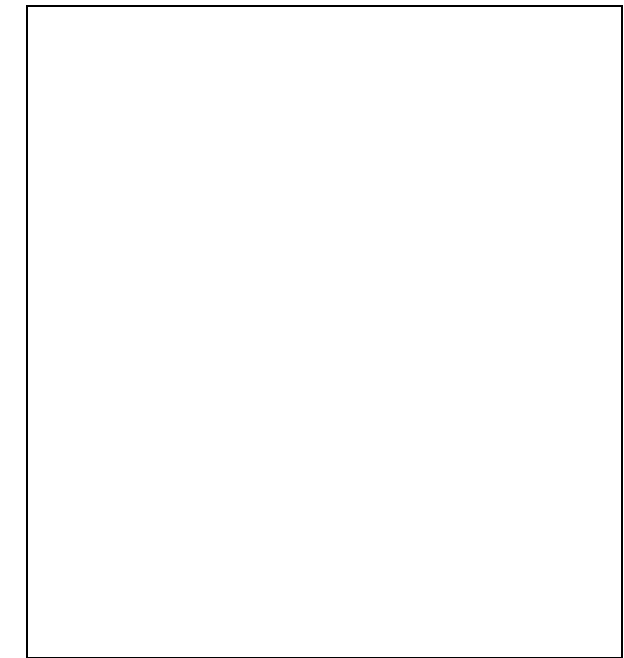
شکل (۴): سیمای زمین ساخت عمومی منطقه تایوان و تحوه برخورد دو صفحه زمین ساختی دریای فیلیپین و اوراسیا

بیشتر در دریا واقع می شود (شکل ۶)، وقوع زمین لرزه بیستم سپتامبر ۱۹۹۹ با این عظمت در مرکز جزیره رویدادی غیرمعمول نسبت به رژیم لرزه خیزی آن محسوب می شود؛ اما، همین نابجایی، خطربذیری ناشی از پدیده سونامی را در مورد این رویداد، کاهش داده است.

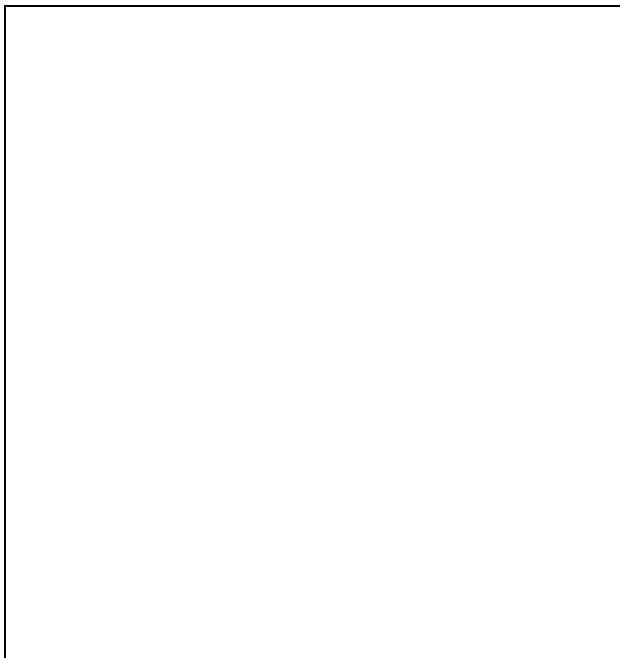
**۴- شبکه<sup>\*</sup> زلزله شناسی کشور تایوان**  
در بازدید [۳] از شبکه زلزله شناسی کشور تایوان (شکل ۸) در سال ۱۹۹۱، نظام اداری آن بین گونه بود که نظارت و اعلام وقوع زمین لرزه های منطقه تایوان قسمتی از وظایف سازمان هواشناسی محسوب می شد؛ در حالی که، پیش از آن تنها بخش ژئوفیزیکی این سازمان مسؤول

زمین لرزه های بزرگ تایوان در جدول (۲) آورده شده است. تایوان یکی از منطقه های زلزله خیز جهان است که تنها انبوهی لرزه خیزی و بزرگای رویدادهای آن با جزیره های ژاپن قابل مقایسه می باشد (شکل ۶). وقوع زمین لرزه های بزرگ مه شیاری در آستانه پدیده

سال دوم، شماره سوم، پاییز ۷۸



شکل (۱): انبوهی زلزله ها با بزرگای مساوی یا بیشتر از  $M_5$  در منطقه تایوان در فاصله زمانی ۱۹۷۳-۱۹۳۹



شکل (۵): تفسیر زمین ساختی زمین لرزه چی چی تایوان برگرفته از دانشگاه توکیو ۱۹۹۹

روش تحلیل و پیگیری بلادرنگ اطلاعات مربوط به زمین لرزه امکان تعیین شناسه (Argument) آن به فاصله سه تا پنج دقیقه پس از وقوع میسر می شد. همچنین نتیجه پردازش اطلاعات به متوجه تشکیل یک بانک اطلاعاتی برای هدفهای پژوهشی بعدی نیز در دسترس قرار گرفت. آن زمان در نظر داشتند که در آینده مرکز نظارت

چنین وظایفی بوده است. از ژوئیه ۱۹۹۸ این سازمان یک طرح ده ساله را برای بنیانگذاری یک شبکه زلزله شناسی کارآمدتر در جهت نظارت بهتر بر زلزله خیزی منطقه تایوان شروع نموده بود، به طوری که در سال ۱۹۹۱ به هنگام بازدید، بخش ژئوفیزیک به صورت یک مرکز نظارت زلزله شناسی با ۴۵ کارمند درآمده بود. در این مرکز با کاربرد

جدول (۲): زمین لرزه های بزرگ منطقه تایوان برگرفته از مرکز اطلاعات زمین لرزه ایالات متحده

سال	زمان	عرض جغرافیایی (درجه)	طول جغرافیایی (درجه)	ژرفای (کیلومتر)	بزرگا
۱۹۲۰/۰۶/۰۵	۰۴:۲۱	۲۳/۵۰	۱۲۲/۰۰	۱۰	$8/3 \cdot M_s$
۱۹۲۲/۰۹/۰۱	۱۹:۱۶	۲۴/۵۰	۱۲۲/۰۰	۶۰	$7/6 \cdot M_s$
۱۹۵۷/۰۲/۲۳	۲۰:۲۶	۲۳/۰۰	۱۲۲/۰۰	۶۹	$7/1 \cdot M_s$
۱۹۶۳/۰۲/۱۳	۰۸:۵۰	۲۴/۰۰	۱۲۲/۱۰	۴۷	$7/3 \cdot M_s$
۱۹۶۷/۱۰/۲۵	۰۰:۵۹	۲۴/۰۰	۱۲۲/۲۰	۶۳	$7/0 \cdot M_s$
۱۹۷۲/۰۱/۰۴	۰۳:۱۶	۲۲/۵۰	۱۲۲/۱۰	۶	$7/6 \cdot M_s$
۱۹۷۲/۰۱/۲۵	۰۳:۴۱	۲۳/۱۰	۱۲۲/۱۰	۳۴	$7/7 \cdot M_s$
۱۹۷۲/۰۴/۲۴	۰۹:۵۷	۲۳/۶۰	۱۲۱/۶۰	۳۳	$7/2 \cdot M_s$
۱۹۷۸/۰۷/۲۳	۱۴:۴۲	۲۲/۲۸	۱۲۱/۵۱	۱۷	$7/4 \cdot M_s$
۱۹۷۸/۱۲/۲۳	۱۱:۲۳	۲۳/۲۵	۱۲۲/۰۷	۳۳	$7/2 \cdot UKPAS$
۱۹۸۶/۱۱/۱۴	۲۱:۲۰	۲۳/۹۰	۱۲۱/۵۷	۲۳	$7/8 \cdot M_s GS$
۱۹۹۹/۰۹/۲۰	۱۷:۴۷	۲۳/۷۸	۱۲۱/۰۹	۵	$7/6 M_w GS$

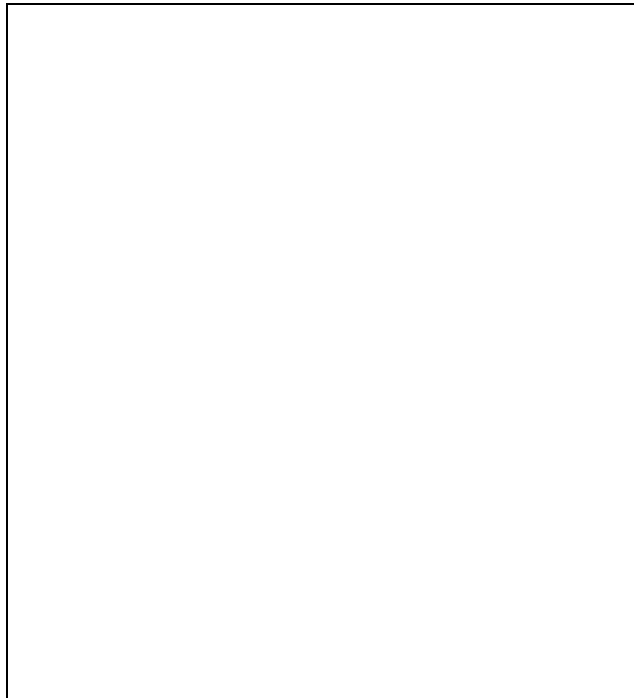
زمین لرزه چی نبوده است، سیستم هنوز قادر به تعیین محل نمودن مناسب موقعیت رویداد، تعیین بزرگای تا ۷/۲۵ و توزیع شدتها لرزه ای (شدت ۵ یا ۶ در ۹ شهر) بوده است. یک پست الکترونیکی به فاصله دو دقیقه برای مراکزهای مسؤول اضطراری دولتی به تایپه و رونوشت آن به استانهای دیگر فرستاده شد. گرچه نقشه توزیع شدت به سبب آماده نبودن همه ایستگاه ها در کل شبکه دارای محلهای خالی بسیاری بود، با وجود این در این پیام اطلاعات ضروری برای مسؤول وقایع اضطراری دولت برای اقدام فوری کافی بود.

خرابیهای برق بر اثر زمین لرزه و تکانهای حاصل از آن در برخی محلها سبب بروز مشکلاتی در دور صداسنجی (*Phonetelmetry*) شده بود، در این صورت برخی از ایستگاه های نزدیک به منطقه رومرکز زمین لرزه توانسته بودند به موقع نگاشت برداری را کامل نمایند؛ گرچه، نگاشتهای کامل از همان ایستگاه ها دیرتر دریافت شد. کار سیستم در تمام مدت برای استخراج و آماده سازی دنباله پس لرزه ها و کارش تعیین محل، بزرگها و توزیع شدت آنها با صرف ۶۰ تا ۱۰۰ ثانیه برای هر مورد ادامه داشت. سیستم فرایینی (*Monitoring*) شامل ۷۰ ایستگاه دورسنج با سه مؤلفه شتاب و دریافت کننده (*Sensor*) های سرعت می باشد.

سیستم برای رویدادهای بزرگتر از چهار طراحی شده است؛ از این رو، اجرای آن در مورد رویدادهای بزرگ ییشتر است و بسیاری از پس لرزه های کوچکتر را در بر نمی گیرد. در واقع توزیع پس لرزه های حاصل شده توسط *CWB* رویدادهای با بزرگای بیش از چهار را نشان می دهد. طبق گفته دکتر وو به هنگام وقوع زمین لرزه اصلی دریافت کننده های سرعت برای مدتی حدود یک ساعت پس از رویداد اشباع شده بودند. گفتنی است که داده های سرعت سپس برای به دست آوردن موقعیت بسیاری از رویدادهای کوچکتر تحلیل خواهد شد. در تاریخ ۲۷ سپتامبر نگاشتهای جنبش نیرومند چهل جایگاه شبکه جنبش نیرومند استخراج و اصلاح شد. این شبکه توسط مرکز زلزله شناسی دفتر مرکزی هواشناسی که ۷۰۰ جایگاه میدان آزاد در سراسر تایوان دارد، اداره می شود.

بیشینه شتاب در ایستگاهی به فاصله ده کیلومتری رومرکز بیش از ۹۰۰ گال نشان داده می شد؛ اما، این مورد تنها مربوط به یک تک ضربه بالا فرکانس بود. البته بیشینه شتابها در فاصله ده کیلومتری رد سطحی گسله چه لانگ پو در ردیف ۳۰۰ تا ۵۰۰ گال بود که بالاترین مقدار آنها در منطقه جنوبی ثبت شده بودند؛

شکل (۷): دو منطقه فرورانشی خاور و جنوب جزیره تایوان



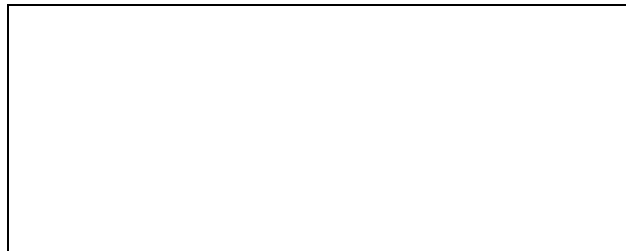
شکل (۸): شبکه زلزله شناسی تایوان در سال ۱۹۹۱

زلزله شناسی را به چهاربخش : نظارت، پردازش داده ها، پژوهش و تعمیر و نگهداری تقسیم نمایند؛ اما، آنچه که در حال حاضر در ارتباط با عملکرد شبکه زلزله شناسی تایوان قابل توجه است استفاده از سیستم انتشار سریع اطلاعات زمین لرزه کشور تایوان توسط وو و همکاران (۱۹۹۷) می باشد. این سیستم که توسط دفتر مرکزی هواشناسی (Central Weather Bureau) اداره می شود نمایش خوبی از زمین لرزه بیست سپتامبر ۱۹۹۹ چی چی همراه با شرح اشکالات موجود در شبکه زلزله شناسی را به هنگام وقوع زمین لرزه نشان می دهد. در توصیف وضعیت شبکه گفته می شود باوجود اینکه ۳۰ ایستگاه از ایستگاه لرزه شناسی تایوان به سبب اشکالات دورسنجی (*Telemetry*) به هنگام وقوع زمین لرزه به طور موقت کار نمی کرده و در ارتباط با

بخش‌های جنوبی جزیره با برآورد آهنگهای ۷/۵ تا ۱۸/۵ میلیمتر در سال بیانی از پویایی زمین ساختی این منطقه می‌باشد. جنبش این بلوكها به سوی باخته درامتداد گسله‌های فعال امتداد لغز چپگرد با روند N140E سهم مهمی از انرژی تنجیدگی حاصل از فرآیند برخورد صفحه دریای فیلیپین به این جزیره را مصرف می‌نماید.

## ۶- وضعیت اعمال تنفس و حرکتهای جدید

جهت عمومی تنفس حاکم بر جزیره فعلی که به کمک داده‌های ژئوفیزیکی و زمین شناختی برآورده شده اند دارای روند N105E است. این روند با جنبش گسله‌های پی‌سنگی فعال دارای روند N140E هم آهنگ است. جهت فروراش صفحه فیلیپین به زیر جزیره تایوان با روند عمومی جهت تنفس نوزمین ساختی همخوان نیست و بین این دو جهت زاویه ۳۵ درجه وجود دارد. از آنجا که فروراش به صورت مایل اعمال می‌شود تنجیدگی حاصل می‌تواند به دو مؤلفه افقی و عمودی تقسیم شود و ممکن است این حرکتها در سازوکار گسله‌ها خود را بروز دهند. جهت محور فشرده‌گی ( $P$ ) در شکل (۹) مربوط به زمین لرزه پیستم سپتمبر با این جزیره زاویه می‌سازد و بیانگر این حقیقت است که بخشی از دگرگشکلی حاصل و انرژی زمین لرزه به صورت مؤلفه جزئی افقی در امتداد صفحه گسله تأثیرگذار بوده است.



شکل (۹): سازوکار گسلش زمین لرزه چی چی تایوان، حل CMT با نمودهای سطحی بیشتر همخوانی دارد

جنبشهای نوزمین ساختی در جزیره تایوان به گونه‌ای مستقیم تحت تأثیر فروراش می‌باشد. این فروراش اثر خود را مستقیم در ساحل خاوری جزیره به صورت حرکت عمودی آشکار می‌سازد. مطالعاتی که انجام گرفته نشان می‌دهد که این خطاهای ساحلی بر اثر حرکتهای نوزمین ساختی در حال حاضر در بلندای چهل مترا قرار دارند. در بررسیهای دقیق مشخص شد که این مقدار در نتیجه هشت حرکت ناگهانی از زیر آب آغاز شده و به این ارتفاع رسیده است، با سن یابی این گونه توده‌ها دریافته اند که هشت حرکت گفته شده در طی

در حالی که، بیشینه سرعتها برای این ایستگاهها در ردیف ۴۰ تا ۸۰ سانتیمتر بر ثانیه بود که مقدارهای بزرگتر آن در منطقه شمالی مشاهده شد.

## ۵- سیمای زمین ساختی و زمین شناختی منطقه تایوان

تداوی برخورد دو صفحه دریای فیلیپین و اوراسیا محرك اصلی پویایی زمین ساخت منطقه تایوان می‌باشد. در سیمای زمین ساخت عمومی منطقه، گویی بلندی‌پلی ترکیب یافته از بخش شمال و خاور فرورانش صفحه دریای فیلیپین به گونه‌ی پیکانی بزرگ از بندر هوالین جزیره را هدف گرفته است (شکل ۴، ب). با بیانی ساده‌تر جزیره تایوان درامتداد صفحه‌های برخوردی دریای فیلیپین و اوراسیا قراردارد. در بخش شمال خاوری این جزیره فرآیند فرورانش صفحه دریای فیلیپین به سوی شمال باخته‌ی که همان صفحه اوراسیاست ادامه دارد. این برخورد پویا به گونه‌ای مایل صورت می‌گیرد و سن آن به پنج میلیون سال پیش (طی سنوزوئیک پسین) بر می‌گردد [۵ و ۶]. در نتیجه این برخورد، بلندیهای خاوری این جزیره به وجود آمده است (شکل ۵) در حالی که دامنه باخته‌ی این بلندیها به طور کلی به وسیله سنگهای رسوبی کم ژرافی سن میوسن و پلیستوسن پوشیده شده است. منطقه کوهپایه‌ای شامل چینهای فعال نامتقارن و گسله‌های راندگی کم شیب می‌باشد که نهشته‌های کنگلومراپی و ماسه ای سنوزوئیک پسین را متأثر کرده اند؛ اما، منطقه خاوری جزیره که لبه برخوردی است در مقایسه با منطقه باخته‌ی جزیره از دیدگاه شدت تنجیدگی خود را با ویژگیهای ساختاری زیر مشخص می‌کند [۷]:

- آهنگ تنجیدگی از خاور به باخته کاهش می‌یابد؛

- در خاور چینهای بسته و راندگیهای پر شیب زیاد یافت می‌شوند؛

- در باخته بیشتر چینهای باز وجود دارد.

روند چیره چینهای به طور کلی N20E است. یالهای باخته چینهای پرشیب و یا برگشته می‌باشد. گسله‌های امتداد لغز هم یوغ به گونه‌ای مورب روند چینهای رابه صورت محلی قطع می‌کنند. ساختار عمومی دیگری در ابعاد منطقه ای وجود دارد و تمامی دیگر ساختارها را به گونه‌ای مورب با روند N140E قطع می‌کند (شکل ۴، ب).

گسله‌ها امتداد لغز چپگرد هستند به گونه‌ای که این جزیره را به بلوك‌های جدا از هم تقسیم کرده اند. فعالیت نوزمین ساختی این روندها را فعالیت لرزه خیزی و ویژگیهای مورفو-تکتونیکی (شکل ۴، الف) تأیید می‌نماید [۷]. آهنگ جا به جایی این بلوكها بویژه در

جهت لغزش در حل *CMT* هاروارد تنها پنج درجه از جنبش صفحه اوراسیا- دریای فیلیپین که مورد انتظار سنو و همکارانش [۲] بود تفاوت دارد (جدول ۳).

شکل (۱): مقطع طولی ساختمان تایوان، برگرفته از [۵] اصلاح شده توسط [۲]

#### - تفسیر دور لرزه نگاشت

تفسیر موجهای رسیده به صحنه لرزه نگاشت نیاز به آگاهی کامل از سرشتی فرکانسی (*Ferquency Characteristic*) کل سیستم دارد. تبدیل نمودن نگاشتهای رقمی به صورت مانسته (*Analog*) بوسیله در شبکه لرزه نگاری باند پهن (*Broad-Band*) نیاز به انجام فرمانهای گوناگون رایانه ای دارد. از آنجاکه شبکه لرزه نگاری باند پهن پژوهشگاه زلزله شناسی و مهندسی زلزله در آغاز کار بهره برداری و برداشتهای آزمایشی است بهینه سازی تفسیر نگاشتهای آن تنها با پیشرفت و رفع کاستیهای شبکه میسر خواهد شد. به عنوان مثال، در سیستم های باند محدود نگاشتهای لرزه نگارهای کوتاه دوره و بلند دوره هر یک در باند فرکانسی خود ردهای روشی از موجها بر روی نگاشت ایجاد می کنند که تفسیر را ممکن می سازد؛ در حالی که، تفسیر در سیستم باند پهن به واسطه هم ظرف بودن نگاشت کوتاه دوره و بلند دوره نیاز به جداسازی به کمک فرمانهای رایانه ای دارد. صرفنظر

هولوشن صورت گرفته است [۸]. در تیجه، آهنگ فرازگیری در این بخش از جزیره به مقدار  $2/5$  تا  $3$  میلیمتر و گاهی تا  $8$  میلیمتر در سال برآورد شده است. دریافتهای این مطالعه نشان داد که بازه بازگشت این هشت حرکت ناگهانی در حدود هزار سال تخمین زده می شود. برحسب آخرین سن یابی رویداد در امتداد این ساحل، در سال ۱۹۹۳ پژوهشگران یادآوری نمودند که وقوع یک زمین لرزه تزدیک است.

#### - رهیافتهای نو زمین ساختی

در تحلیلی از وضعیت زمین ساختی منطقه تایوان با توجیهی دیگر گفته اند، تایوان در همان وضعیت زمین ساختی دریای جنوب چین قرار دارد که در حال فرونش ب زیر قوس لوزون (*Luzon Arc*) است [۲]. از شروع برخورد شیب قاره ای (*Gontinental-Slope*) چین تاکنون تنها چهار میلیون سال گذشته است؛ درحالی که، در آنجا فقط نهشته ها افزایش یافته اند. در زونهای تصادمی کامل شده در هیمالیا، در محلی دور از زون بخیه خورده (*Suture Zone*) تعیین محل می شود (زون بخیه خورده ایندوس زهانپو در هیمالیا). در تایوان نیز بیشترین جنبش صفحه در راندگی، مصرف و در زیر کوهپایه های باختری دکلمان (*Decollement*) می شود و به گونه چین خورده کسی مستقل از پی و در قالب منشور برازیلی در می آید، (شکل ۱۰). مثالی برای زون بخیه خورده همان دره طولی می باشد، هرچند هنوز از فعالیت نیافتاده است. ساختمان صفحه ساحلی کوهپایه های باختری باید بیشتر به گونه یک زون فرونشی در نظر گرفته شود تا یک زون تصادمی؛ بنابراین، زمین لرزه بیستم سپتامبر ۱۹۹۹ تایوان باید به گونه یک زمین لرزه منطقه فرونشی محسوب شود.

جدول (۳): پارامترهای مربوط به ساز و کار رویداد بیستم سپتامبر تایوان و چند پس لرزه بزرگ آن

شماره	تاریخ وقوع	محل کانون شمال و خاور	M <sub>w</sub>	ژرفای (کیلومتر)	صفحه ۱ (شیب / راستا)	صفحه ۲ (شیب / راستا)	محور شرددگی P	محور T کششی	منبع
۱	۱۹۹۹/۹/۲۰	و ۲۳/۷۸۱ و ۱۲۱/۰.۹	۷/۶	۵	۳۵۷/۲۹	۲۰۲/۶۳	۲۸۳/۱۷	۱۳۸/۶۹	USGS
۲	۱۹۹۹/۹/۲۲	و ۲۳/۷۱۱ و ۱۲۱/۱۱۳	۶/۳	۲۶	۳۲۵/۲۶	۱۸۳/۶۹	۲۶۱/۲۲	۱۱۸/۶۳	USGS
۳	۱۹۹۹/۹/۲۵	و ۲۳/۷۸ و ۱۲۱/۱۲۳	۶/۴	۲۲	۳۴۵/۴۱	۱۸۹/۵۱	۲۶۸/۵	۱۵۵/۷۷	USGS

لرزه نگاشتهای مؤلفه افقی بهترین نمود را پیدا می کنند.

- سرعت انتشار آنها متفاوت است؛ گرچه سرعت هر دو قطار موج کمتر از سرعتهای موجهای پیکری است، اما قطار موج لاو سریعتر از قطار موج ریلی منتشر می شود؛ بنابراین، جلوتر از موجهای ریلی ثبت می شود.

این ویژگیها را این کونه می توان توجیه نمود که حرکت ذرات در موجهای ریلی یک مدار بیضوی پسگرد را در صفحه قائمی که شامل راستای انتشار موج می باشد دنبال می کند. در این صورت، در سطح زمین، دامنه ها در جهت های قائم و افقی نسبتی در حدود ۳ به ۲ دارند؛ بنابراین، بر روی لرزه نگاشتهای مؤلفه قائم بهتر دیده می شوند. موجهای لاو هیچ گونه حرکت قائمی ندارند چون ذرات به حرکت درآمده توسط انتشار این موجهها در صفحه افقی و عمود بر جهت انتشار قطبیده (Polarized) شده اند، در تیجه ردموجهای لاو باید بر روی لرزه نگاشت مؤلفه های افقی جستجو شود. از آنجا که رویداد بیستم سپتامبر ۱۹۹۹ تایوان در خاور ایستگاه کاوش واقع شده است جهت عمومی انتشار موجهای رسیده از یک مسیر قاره ای خاوری - باختり بوده و موجهای لاو بر روی مؤلفه شمالی - جنوبی بهتر نمایان شده اند؛ در حالی که، به سبب قطبیدگی موجهای لاو در صفحه قائم و نبود آنها در مؤلفه قائم، مشاهده موجهای ریلی بر روی مؤلفه قائم از قابلیت اعتقاد پیشتری برخوردار است. موجهای لاو، سریعتر از موجهای ریلی با سرعتهایی محدود به سرعتهای موج S در لایه و نیم فضا (محیط نیمه محدود) منتشر می شوند. میانگین سرعت انتشار برای *LQ* و *LR* به ترتیب  $4/43$  و  $3/97$  کیلومتر بر ثانیه است [۱۱].

ویژگی کلیدی دوم برای تشخیص این دو قطار موج سرعت افزونتر موجهای لاو است که زودتر به صحنه وارد می شوند؛ چنانکه در تفسیر دورلرزه نگاشت تایوان موجهای لاو که بر روی نگاشت شمالی - جنوبی علامت گذاری شده اند حدود سه دقیقه زودتر از قطار موجهای ریلی رسیده اند. از طرفی موجهای سطحی که محیط لایه بندی شده را سیر می کنند دچار پدیده پاشیدگی عادی (*Normal-Dispersion*) (Normal-Dispersion) دارند و باگذشت زمان شکل قطار لاو و ریلی را تغییر می دهند. بدین ترتیب که ویژگی پاشیدگی به شکل موجهای بلند دوره که در محیط به طرف ابتدای قطار موج پیش می روند آشکار شده، نمود اولیه موجهای لاو و ریلی را آشفته می نمایند. وارسی این رفتار ویژه به مفهوم سرعت فاز و سرعت گروه منجر می شود. سرعت فاز، سرعتی

از این نیاز در اینجا کوشش شده است تفسیر قابل قبولی تنها با وارسی رد دورلرزه ای (*Teleseism-Trace*) کلی زمین لرزه بیستم سپتامبر ۱۹۹۹ تایوان برگرفته از شبکه باند پهن پژوهشگاه زلزله شناسی و مهندسی زلزله فراهم شود (شکل ۳).

با این هدف، رد دورلرزه ای تکان اصلی ثبت شده در ایستگاه لرزه شناسی کاوش تهران واقع در کیلومتر پنجاه جاده تهران - قزوین مورد مطالعه قرار گرفته است. از آنجا که موجهای ساده *P* و *S* هیچ گونه بازتاب و یا شکستی نداشته و مستقیم از کانون به این ایستگاه وارد شده اند تعیین موقعیت آنها نسبت به هم، مدرک خوبی برای تخمین فاصله این رویداد تا ایستگاه محسوب شده است. برای انجام این دیدگاه با استفاده از جدولهای زلزله شناختی جفریز و بولن [۹] و مقایسه نتیجه آن با منحنی های زمان - سیر چنین برآورد می شود که تکان اصلی مربوط به یک زمین لرزه در فاصله حدود ۶۱ درجه تا ایستگاه کاوش می باشد. همین کار با استفاده از طول و عرض جغرافیایی مرکز زمین لرزه و ایستگاه با در نظر گرفتن انحصار و شکل زمین نیز محاسبه شده و عدد  $60/904$  درجه به دست آمده است؛ به دلیل آنکه، قطار موجهای لاو و ریلی بر صفحه نگاشت چیره شده و به طور قابل توجهی نسبت به موجهای *S* تأخیر نشان می دهند. برحسب تفسیر تعمیم داده شده، اتاکلهانک [۱۰] تصویر گویایی از یک رویداد کم ژرف را آشکار ساخته است. از آنجا که شروع ضربه ای موج *S* به طور معمول برای چشممه های با ژرفایی کمتر از  $30$  کیلومتر در منطقه فروزانش مشاهده شده است [۱۰] بزرگ و ضربه ای بودن موجهای *S* و *SS* بر روی مؤلفه خاوری - باختی در راستای انتشار موج، هم نداد روشنی از سطحی و صفحه لرزه ای (*Plate-Quake*) بودن این رویداد و هم تأییدی بر نوع منطقه فروزانشی (*Subduction Zone Type*) بودن آن می باشد.

گرچه ابتدای ورود قطار موجهای لاو و ریلی به سبب آسوده شدن با دنباله فازهای دیگر در لرزه نگاشت باند پهن به کونه ای که در لرزه نگاشتهای بلند دوره دیده می شود روشن نیست، در این تفسیر با روشاهای گوناگون کوشش شده است تا حدود آستانه ورود آنها تخمین شود. برای تشخیص دادن موجهای لاو از موجهای ریلی لازم است تحلیل گر دو ویژگی کلیدی را در نظر بگیرد:

- حرکت ذرات در این دو نوع قطار موج متفاوت است. به عبارت دیگر، در حالی که موجهای ریلی اغلب بزرگترین دامنه ها را بر روی شبتهای مؤلفه قائم دارند، موجهای لاو بر روی

فن گای یوئن در استان تای چونگ در شمال ادامه یافته بود (شکل ۲). در آنجا به طور کلی یک تا چهار متر جا به جایی بر روی راندگی کم زاویه مشاهده می شد. گسلش در بیشتر مکانها به گونه ای تزدیک به راندگی محض آشکار شده بود. بر حسب کار بازتاب لرزه ای کم ژرف ام پیشتر در منطقه به انجام رسیده، شبکه کسل بین ۲۵ تا ۳۰ درجه تعیین شده است. شمال خاوری فن گای یوئن در انتهای شمالی شکستگی، گسلش پیچیده شده و به چند گسله کوچکتر تقسیم شده است. در این منطقه روند گسلش به سوی خاور - شمال خاوری در حدود ۱۵ کیلومتر خمیدگی پیدا نموده است. در آنجا دور افتادگیهای بسیار بزرگ به گونه ای به جاییهای قائم چهار تا هشت متر و جایه جاییهای افقی یک تا نه متر در مکانهای مختلف مشاهده می شد.

جا به جاییهای قائم در ردیف بزرگترین جنبشهای گسل سطحی مشاهده شده در زمین لرزه های جهانی است. جا به جاییها ممکن است بر روی چندین گسله کوتاه موازی و قوع یابند. در آنجا دور افتادگیهای قائم درون رودخانه شمال خاور فن گای یوئن تماشایی بود. در یک طرف تزدیک پل فرو ریخته ای، آیشار جدیدی از یک دور افتادگی گسلی قائم حدود هشت متری به وجود آمده بود. در حدود یک کیلومتری این محل سد توسط گسل بریده شده بود. جاده ای که به بالای سد منتهی می شد هشت متر به طور قائم جا به جا شده بود. مشاهده جنبش بر روی گسل شاندونگ که در سمت خاور با گسل چه لانگ پو موازی است اندک بود.

#### ۱۰- نیرومندی جنبش زمین و سرشتی منطقه

پس از وقوع یک زمین لرزه، داده های لرزه شناختی و زمینی شناختی مربوط به آن لازم است برای برآورد نیرومندی جنبش زمین و آکاهی از سرشناسی خاستگاه رویداد انسیارش شوند. این داده ها همراه با پاسخ سازه ای به هنگام وقوع زمین لرزه، چهارچوبی برای معیارهای طراحی سازه پایدار در برابر زمین لرزه بویژه برای منطقه زلزله زده محسوب می شود. نیرومندی جنبش زمین پیش از این تنها با استفاده از اندازه گیری بیشینه شتاب، سرعت و جا به جایی زمین برآورد می شد. امروزه دانسته شده است که پارامترهای دیگری مانند دیرش لرزش نیرومند زمین، محتواهای فرکانسی این لرزش، درازای گسلش سطحی و افزون بر آن بر هم کنشهای سرشتی ناشی از اختلالات محلی ناشناخته در قالب ریزی تأثیرگذاری و نیرومندی جنبش زمین دخالت دارند. به عنوان مثال، بیشینه شتاب یا بیشینه جنبش

است که یک موج تک فرکانسی (سیگال تک فام) با آن منتشر می شود. سرعت گروه، سرعت حرکت انرژی قطار موج است (سرعت پوش قطار موج). نمودار سرعت موج به صورت تابعی از دوره یا فرکانس آن منحنی پاشیدگی (*Dispersion Curves*) نامیده می شود. منحنی های پاشیدگی برای سرعت گروه مدل اصلی موجهای لاو و ریلی تهیه شده توسط بولن و بولت [۱۱] برای مسیرهای قاره ای و اقیانوسی متفاوت هستند. منحنی های مسیر اقیانوسی برای هر دو موج نسبت به منحنی مسیرهای قاره ای در تراز بالاتری قرار می گیرند (سرعت گروه برای قطار موجهای مسیر اقیانوسی بیش از قطار موجهای مسیر قاره ای می باشد). به عبارت دیگر، هر دو موج لاو و ریلی ویژگی پاشیدگی سرعت یا با بیان ساده تر پاشیدگی از خود نشان - می دهد که منحنی آن در مسیرهای قاره ای و اقیانوسی گوناگون است و بر حسب لاو یا ریلی بودن نیز متفاوت می باشند.

در پاشیدگی عادی سرعت انتشار موجهای سطحی پاشیده، از دیدگاه فرکانس یا دوره مانند موجهای  $P$  و  $S$  ناوردا (*Invariant*) نیست؛ بلکه، با افزایش دوره موج افزایش می یابد؛ بنابراین، موجهای سطحی با دوره طولانی بیش از موجهای با دوره کوتاهتر به یک ایستگاه می رسد چنانکه در دور لرزه نگاشت زمین لرزه بیستم سپتامبر ۱۹۹۹ تایوان نیز چنین روندی تا جایی که ورود فاز  $p'p$  در صحنه روزابی شده، دیده می شود.

سرشته پاشیدگی در مسیرهای اقیانوسی سبب می شود قطار موج بلند با تغییر دوره ای کند و گاه تغییر دوره ای که در بازه ای طولانی تا ده دقیقه قابل تشخیص می باشد روی دهد؛ در حالی که، در مسیرهای قاره ای سرشته پاشیدگی آن و کاهش سریع دوره با زمان را سبب می شود که با وارسی چند دقیقه از نگاشت به سادگی تشخیص داده می شود. چنین کاهشی را در مسیر قاره ای زمین لرزه تایوان تا ایستگاه کاوش می توان مشاهده نمود.

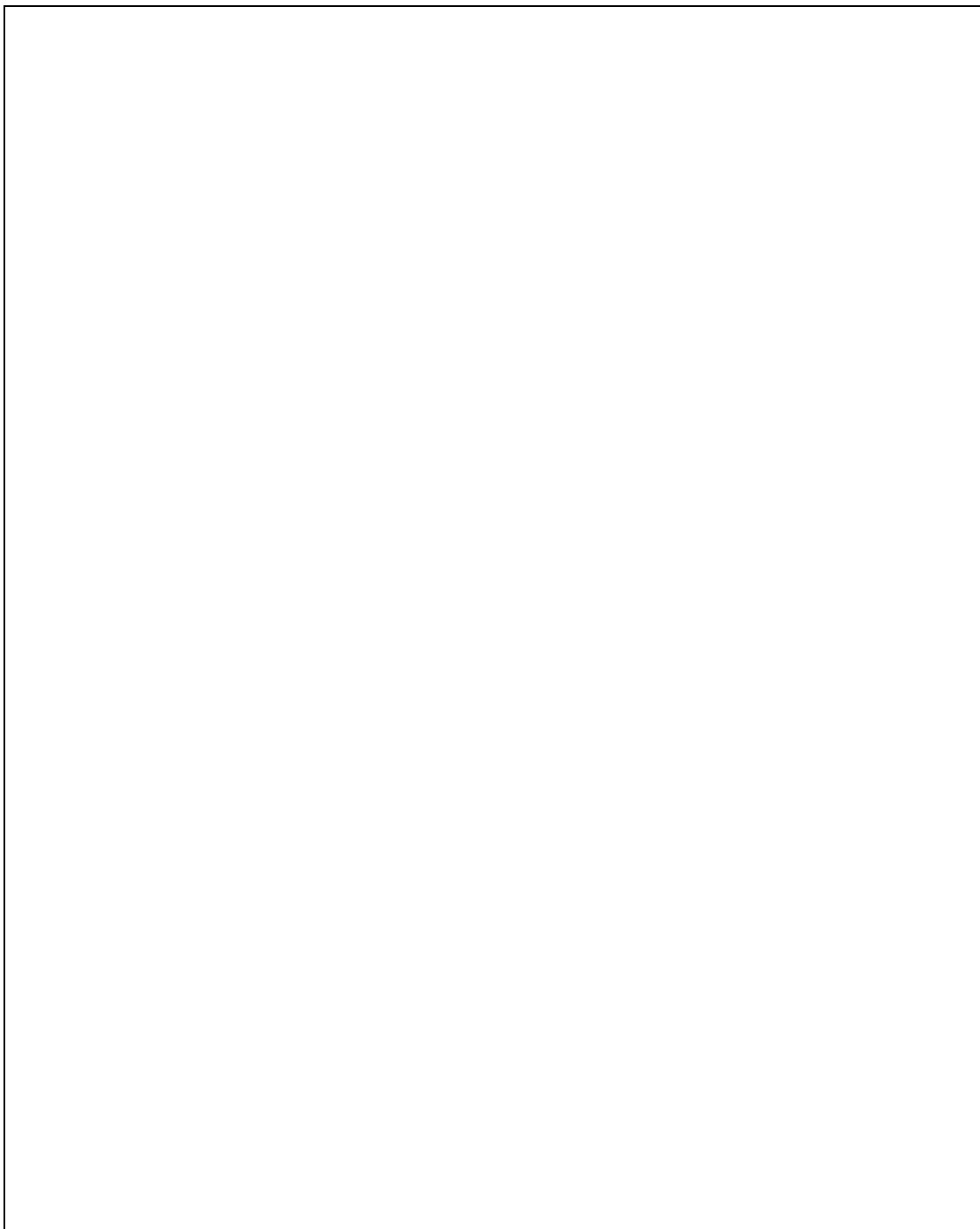
#### ۹- گسلش سطحی

مشاهدهای یک گروه ژاپنی به سپرسی پروفسور لی از منطقه زلزله زده تایوان به هنگام نقشه کردن گسلش سطحی زمین لرزه بیستم سپتامبر ۱۹۹۹ تایوان چنین است.

زمین لرزه به گونه ای فراگیر بر روی گسله فعل چه لانگ پو واقع شده بود. شکستگی در حدود ۶۰ کیلومتر با روند شمالی - جنوبی از تزدیک چوشان در استان ناتسو در جنوب شروع شده، به سوی

بيانگر آن است که برآورده نیرومندی مؤثر جنبش زمین تنها بر پایه یک پارامتر نمی‌تواند رضایت‌بخش باشد. محتوای فرکانسی لرزش اعمال شده نیز بسته به موقعیت نگاشت برداری دارای گستره فرکانسی گوناگونی است که نقش بسزایی در توزیع انرژی و نیرومندی مؤثر جنبش زمین دارد؛ درحالی که، درازای کسلش سطحی که نماد بزرگ، ژرف و ویژگیهای زمین شناختی است در برآورده نیرومندی مؤثر

نیرومند زمین در ایستگاهی به فاصله ده کیلومتری رومرکز زمین لرزه بیستم سپتامبر ۱۹۹۹ تایوان بیش از ۹۰۰ گال ثبت شده بود، در حالی که این مورد مربوط به یک تک ضربه بالا فرکانس زودگذر و بسیار دوام بوده است؛ اما، در چنین فاصله‌ای تا رد سطحی گسله چولانگ پو لرزه‌های نگاشته شده با دیرش کافی، شتابهای مؤثری بین ۳۰۰ تا ۵۰۰ گال را نشان داده بودند (بخش چهارم، آخرین بند). این مسأله



شکل (۱۱): پریندهای توزیع جنبش زمین، جا به جایی و شتاب زمین لرزه بیستم سپتامبر ۱۹۹۹ تایوان

شکل (۱۲): از بالا به پایین مقایسه طیف پاسخ شتاب و سرعت، نسبت بیشینه شتابها و سرعتهای آفی به قائم، توزیع سرعت و رویدادهای بزرگ سده بیستم در باخترسازیه تایوان [۱۲]

داده های لرزه شناختی زمین لرزه بیستم سپتامبر ۱۹۹۹ تایوان به صورت پربندهای توزیع شتاب، سرعت و جا به جایی درپیرامون رومرکز رویداد در شکل (۱۱) نشان داده شده است. طیفهای پاسخ شتاب و سرعت این زمین لرزه با دو زمین لرزه ۱۹۹۵ کوبه ژاپن و ۱۹۹۹ ایزمیت ترکیه در شکل (۱۲) مقایسه شده است. علاوه بر آن، شتاب و

جنبیش زمین نیز لازم است درنظر گرفته شود. به هر حال با داشت کنونی پیش بینی دقیق و تعیینی (*Deterministic*) همه پارامترها برای طراحی سازه پایدار در برابر زمین لرزه ای که هنوز واقع نشده میسر نیست؛ بنابراین، منظور نمودن معیاری این پارامترها با عدم یقین بسیار در طراحی سازه پایدار در برابر زمین لرزه کاستیهایی در بر خواهد داشت.

تایوان از فرآیند چهارم به بعد با شکستن توده چین خورده و انتشار کشش سطحی موازی با کسل چه لانگ پو نیز ریشه در پی سنگ داشته باشد.

سرعت افقی رویداد تایوان در برابر شتاب و سرعت قائم آن رسم شده است؛ در حالی که، موقعیت زمین لرزه های بزرگ سده بیستم در نیمه باختری جزیره نیز دیده می شود.

## ۱۲- مراجع

- 1-Eslami, A.A., (1988), An Investigation of the Earthquake of Sept. 1985. Mexico J. Earth & Space Phys. Vol. 16 and 17 No.1 & 2 (1987-1988), pp 1-22 (in Farsi).
- 2-Seno, T., Stein, S. & Gripp, A. E., (1993), A Model for the Motion of the Philippine Sea Plate Consistent with NUVEL-1 and Geological Data, J. Geophys. Res., 89, 17941-17948.
- 3-Eslami, A. A., (1991), The Report of Visit from Taiwan Seismological Stations (Internal Report of IGTU).
- 4-Santo, T., (1973), Classification of Earthquakes from the View of Plate Tectonics-A Supplement, Bulletin of the International Institute of Seismology and Earthquake Engineering Vol. 11. pp, 21-32.
- 5-Suppe, J., (1981), Mechanics of Mountain-Building and Metamorphism in Taiwan. Mem. Geol. Soc. China, 4: 67-90. Updated Oct. 30, 1999 Report of the Visit to the Surface Ruptures Seno's Homepage ERI's Homepage.
- 6-Davis, D., Suppe, J. & Dahlen, F.A., (1983), Mechanics of Fold-and-Thrust Belts and Accretionary J. Geophys. Res., 88, 1153-1172.
- 7-Shin, T.C., & Chang, M., (1992), Earthquakes in 1992. Meteorol. Bull. Cent. Weather Bur., 38(3): 218-232.
- 8-Liew, P.M., Pirazzoli, P.A., (1993), Hsieh, M. L., Arnold, M., Barusseau, J. P., Fontugne, M. & Giresse, P., (1993), Holocene Tectonic Uplift Deduced from Elevated Shorelines, Eastern Coastal Range of Taiwan, Tectonophysics, 222, 55-68.
- 9-Jeffreys, H., & Bullen, K. E., (1958), Seismological-Tables London Office of the British Association Burlington House, W.1.
- 10-Kulhanek, O., (1990), Anatomy of Seismograms Seismological Section, University of Uppsala, Upssala Sweden for the JASPEI/Unesco Working Group on Manual of Seismogram Interpretation ELSEVIER Amsterdam-Oxford-Tokyo 1990.
- 11-Bullen, K.E., & Bolt, B.A., (1985), An Introduction to the Theory of Seismology. Cambridge University Press. Fourth edition, 499 pp.
- 12-Bonilla, M. G., (1977), Summary of Quaternary Faulting and Elevation Changes in Taiwan. Geol. Soc. China Mem. 2, ◀ 43-55.

## ۱۱- بحث و نتیجه گیری

مطالعه زمین ساخت عمومی حاکم بر منطقه تایوان نشان می دهد که تحولات زمین ساختی این جزیره مانند فرازگیریهای ناگهانی به هنگام بروز دیرینه زمین لرزه های (Paleoearthquake) هشتگانه عهد هولوسن در خاور آن و یا تشکیل چینهای باز (Wide Fold) در باختر جزیره هر یک به نوعی در ارتباط با اعمال تنفسهای ناشی از رفتار مقابله دو صفحه دریای فیلیپین و اوراسیا در گذشته می باشد. تداوم این رفتار در عصر حاضر به هر شکل، تصادم یا فروزانش، اعمال تنفسهای نو زمین ساختی حاکم بر جزیره فعلی را سبب می شود؛ چنانکه نتیجه جنبشها نو زمین ساختی متاثر از فرآیند فروزانش عامل آهنگ فرازگیری کنونی در ساحل خاوری و بروز زمین لرزه های منطقه بنیوفنی در خاور و جنوب جزیره تایوان شناخته شده است [۸]. این در حالی است که زمین لرزه های تراستی و زیرتراستی باختر جزیره را که تصادمی محسوب می شدند نیز سنو و همکاران [۲] به نوعی فروزانشی تعییر نموده اند. بر پایه تعییر این پژوهشگران و با گواهی حضور فازهای برجسته و ویژه زمین لرزه های فروزانشی در صحنه لرزه نگاشت ایستگاه لرزه شناسی کاوش تهران از این رویداد و تفسیر آن (اسلامی، ۱۹۹۹)، زمین لرزه بزرگ بیست سپتامبر ۱۹۹۹ تایوان باید یک زمین لرزه کم ژرف و فروزانشی باشد. در این صورت، چرخه ای از ریشه گیری (Evolution) کهنه تا تدارک فیزیکی برای وقوع این نوع زمین لرزه ها، با فرآیندهای زیر انجام می کیرد:

- ۱- بیشترین جنبش ناشی از تصادم صفحه های زمین ساختی به گونه تنشی صرف راندگی می شود؛
- ۲- در باختر جزیره، نتیجه این راندگی به صورت چین خوردگی مستقل از پی و در قالب منشور افزایشی در می آید؛
- ۳- این توده برافزایشی در زیر کوهپایه های باختری انباشته می شود؛
- ۴- تداوم تنش ناشی از این انباشتگی به شکستن توده برافزایشی، رهایش انرژی و ایجاد گسلهای پی سنگی منجر می شود. در نتیجه، طی این فرآیندها نقش ساختمان ساحلی کوهپایه های باختری باید به گونه یک زون فروزانشی درنظر گرفته شود نه یک زون تصادمی. براین پایه، ممکن است رویداد بیست سپتامبر ۱۹۹۹



